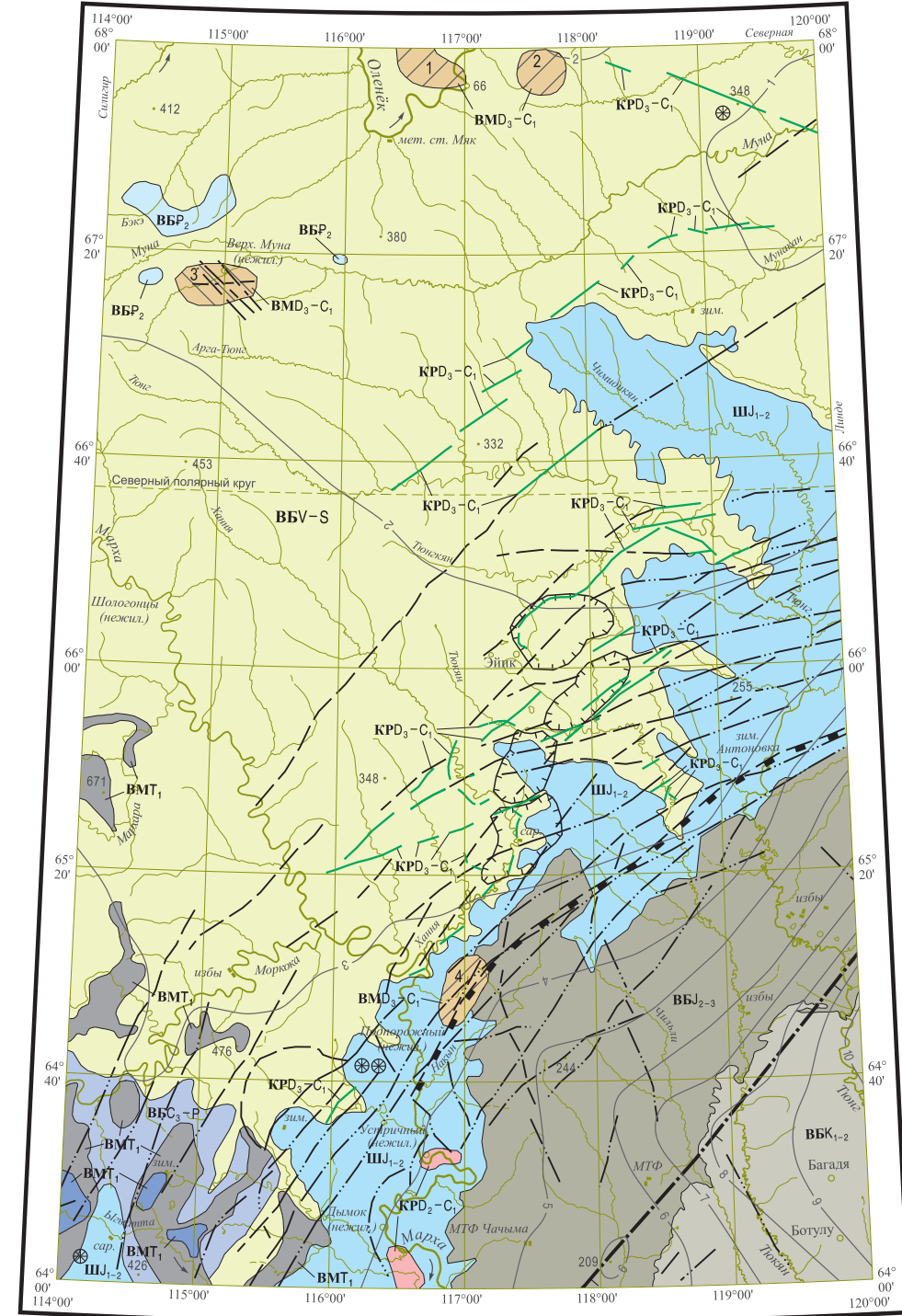


ТЕКТОНИЧЕСКАЯ СХЕМА
Масштаб 1 : 2 500 000



УСЛОВНЫЕ ОБОЗНАЧЕНИЯ
ГЕОДИНАМИЧЕСКИЕ КОМПЛЕКСЫ И СЛАГАЮЩИЕ ИХ ФОРМАЦИИ

Структурные ярусы, подразделения	Геодин. комплекс	Областей с континентальной и переходной корой				Пассивных окраин континентов
		Континентальных рифтов и влакогенов		Внутрилитного магматизма	Внутрилитных бассейнов	Внутреннего шельфа
		Центральная часть рифта	Краявая часть ("плечо") рифта			
Кайнозойский	KZ	КР		ВМ	ВБ	Ш
Юрско-мерской	J-K	КР		ВМ	ВБ ₂	Ш ₁₋₂
	J ₁₋₃	КР			ВБ ₁₋₂	
Среднекаменноугольно-триасовый	T ₁₋₃	КР		ВМ	ВБ	Ш
	C ₁₋₃	КР				
Среднедевонско-нижнепермский	D ₁₋₃	КР		ВМ	ВБ	Ш
	V-S	КР				

* Геодин. комплекс C₁₋₃ - Т Вилейской синеклизы развиты в центральных частях и полностью перекрыты вышележащими отложениями

Хоргоуская флексура

Разломы второстепенные предполагаемые: а - выходящие на картографируемую поверхность, б - скрытые под вышележащими образованиями

Сброи главные достоверные, скрытые под вышележащими образованиями

Изопахты осадочного чехла, км

Границы структурно-вещественных комплексов

Палеовулканические структуры

Вулкано-тектонические структуры (кальдеры просадания)

Вулканические аппараты внемасштабные

Кимберлитовые поля

Чокуддакское

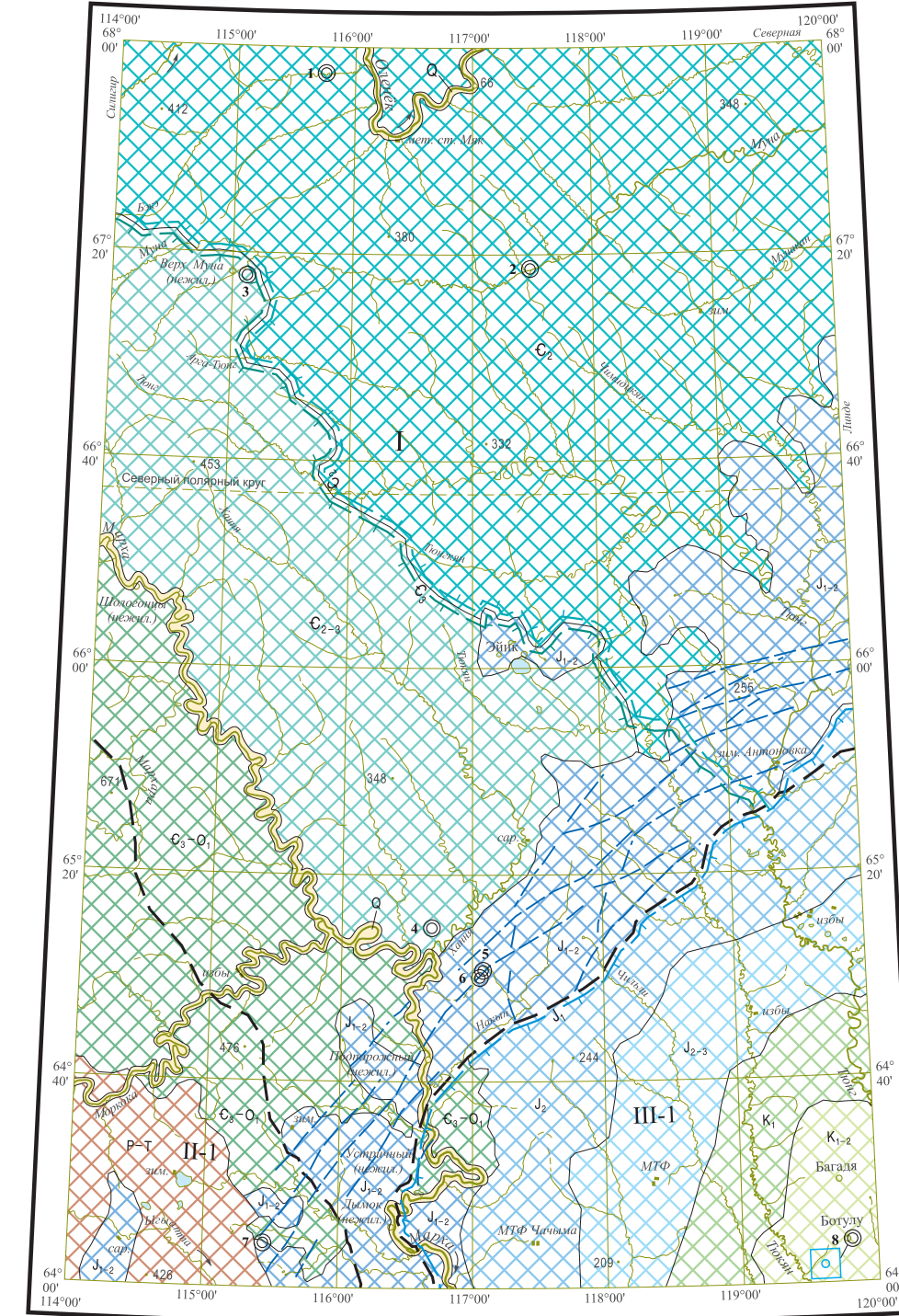
Севернейское

Верхнемунское

Наканское

Примечание. Направление штриховки отражает преобладающую ориентировку кимберлитоконтролирующих разломов

ГИДРОГЕОЛОГИЧЕСКАЯ СХЕМА
Масштаб 1 : 2 500 000



УСЛОВНЫЕ ОБОЗНАЧЕНИЯ
ГИДРОГЕОЛОГИЧЕСКОЕ РАЙОНИРОВАНИЕ

Восточно-Сибирская криогенная артезианская провинция
Гидрогеологические структуры второго порядка:
I - Оленевский криозартезианский бассейн
II - Туруевский артезианский бассейн
III - Якутский артезианский бассейн

Гидрогеологические структуры третьего порядка:
III-1 - Верхневилейский криозартезианский бассейн
III-1 - Нижневилейский криозартезианский бассейн

Границы гидрогеологических структур второго порядка (бассейнов)

ГИДРОГЕОЛОГИЧЕСКИЕ ПОДРАЗДЕЛЕНИЯ

Четвертичный аллювиальный криогенно-талповый водоносный комплекс

ПЕРВЫЕ ОТ ПОВЕРХНОСТИ ВОДОПОРНЫЕ КРИОГЕННЫЕ КОМПЛЕКСЫ

K ₁₋₂	Нижне-верхнемеловой	Пермо-триасовый
K	Нижнемеловой	Верхнекембрийско-нижнеюрский
J ₁₋₂	Средне-верхнеюрский	Средне-верхнекембрийский
J ₃	Среднеюрский	Среднекембрийский
J ₄	Нижне-среднеюрский	

Границы распространения первых от поверхности водоносных комплексов

ВОДОНОСНЫЕ КОМПЛЕКСЫ, ЗАЛЕГАЮЩИЕ НИЖЕ ПЕРВЫХ ОТ ПОВЕРХНОСТИ

Нижнеюрский

Верхнекембрийский

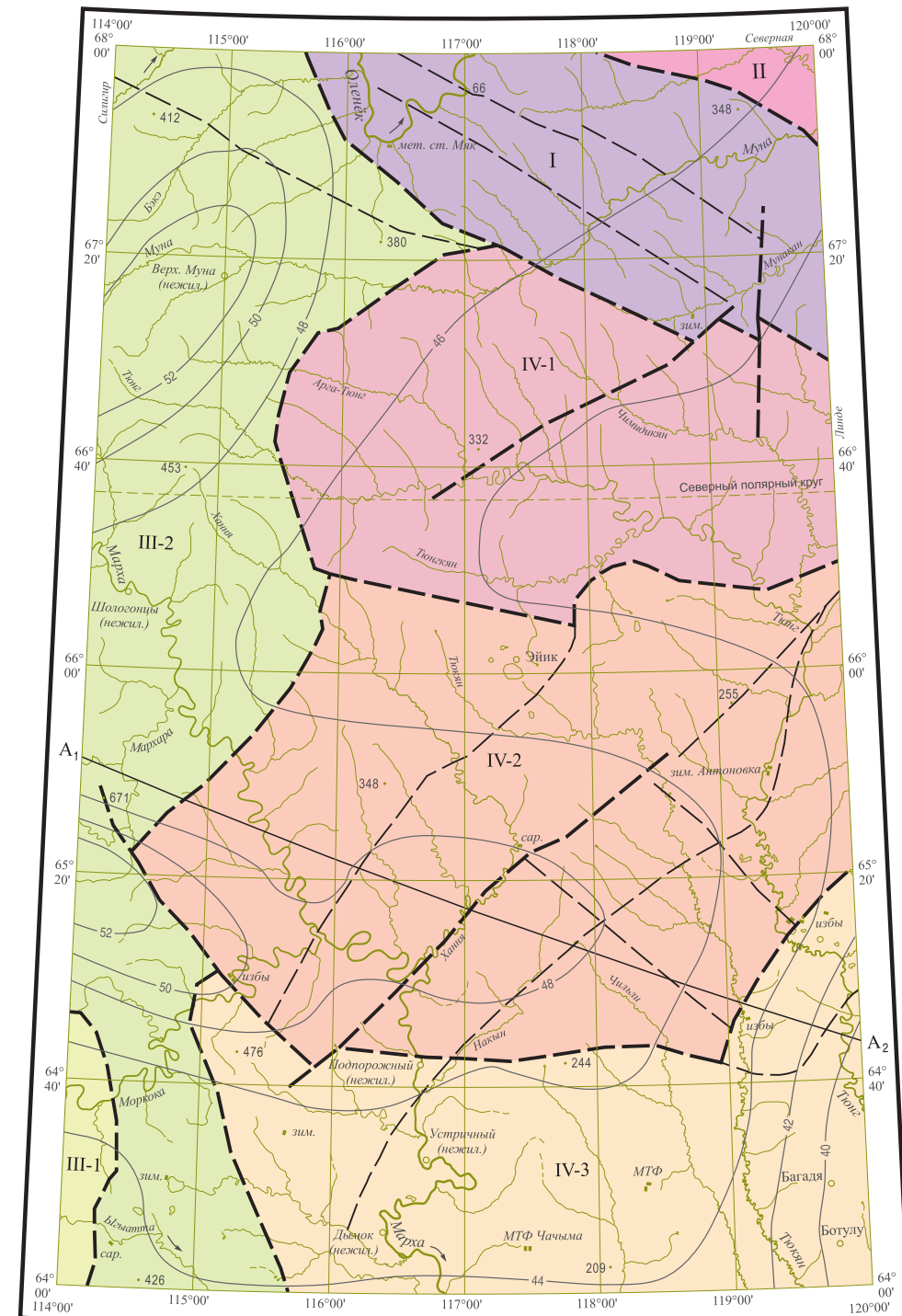
Среднекембрийский

Предполагаемые водоносные линейные гидрогеологические подразделения

Буровые скважины и их номера

Водозабор питьевой воды

СХЕМА ГЛУБИННОГО СТРОЕНИЯ
Масштаб 1 : 2 500 000



УСЛОВНЫЕ ОБОЗНАЧЕНИЯ

СТРУКТУРО-ВЕЩЕСТВЕННЫЕ БЛОКИ АРХАЙСКО-РАННЕПРЕОТЕРОЗОЙСКОГО КРИСТАЛЛИЧЕСКОГО ФУНДАМЕНТА

I	Биряктинский блок
II	Халганский блок
III	Далдунский блок
III-1	Западно-Далдунская зона
III-2	Восточно-Далдунская зона
IV	Мархинский блок
IV-1	Тунгусская зона
IV-2	Токанская зона
IV-3	Коннанская зона

Разломы, разделяющие блоки фундамента, сложенные различными структурно-вещественными комплексами (предлагаемые) и внутриблоковые

Разломы второстепенные предполагаемые

Изопахты земной коры, км

Линия геолого-геофизического разреза по опорному стратиграфическому профилю Березово-Усть-Мая (Кратон)

УСЛОВНЫЕ ОБОЗНАЧЕНИЯ К РАЗРЕЗУ

Рифей-фанерозойские осадочные комплексы платформенного чехла с тропическими интрузиями
Эффективная плотность 2,45-2,65 г/см³

Эффективная магнитная восприимчивость (ед. СГС · 10⁻³):
а - очень низкая, меньше 100
б - низкая, 100-300
в - средняя, 300-500
г - обратная намагниченность, до 150

Архейские (?) комплексы пород кристаллического фундамента средней и высокой степени метаморфизма. Эффективная плотность 2,7-2,77 г/см³

Эффективная магнитная восприимчивость (ед. СГС · 10⁻³):
а - очень низкая, меньше 100
б - низкая, 100-300
в - средняя, 300-500

Архейские (?) комплексы пород кристаллического фундамента средней и высокой степени метаморфизма. Эффективная плотность 2,81 г/см³

Верхняя мантия. Эффективная плотность 2,81 г/см³

Предполагаемые границы структурно-вещественных комплексов

Разломы

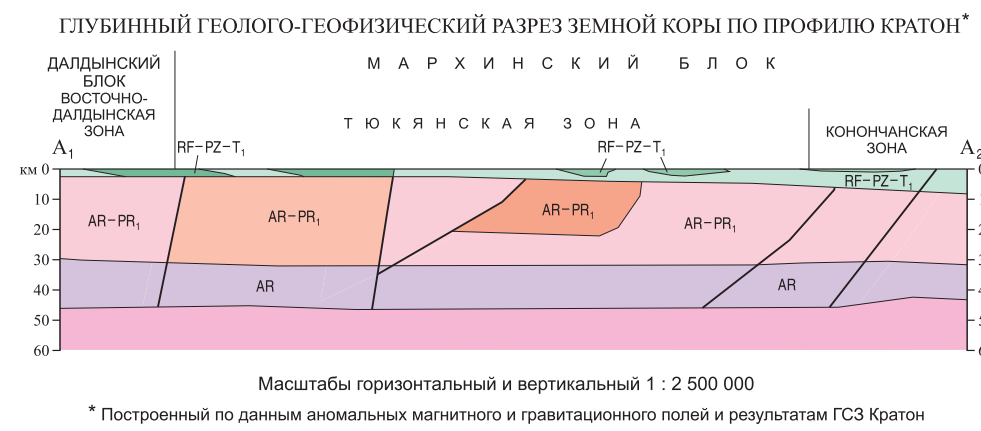
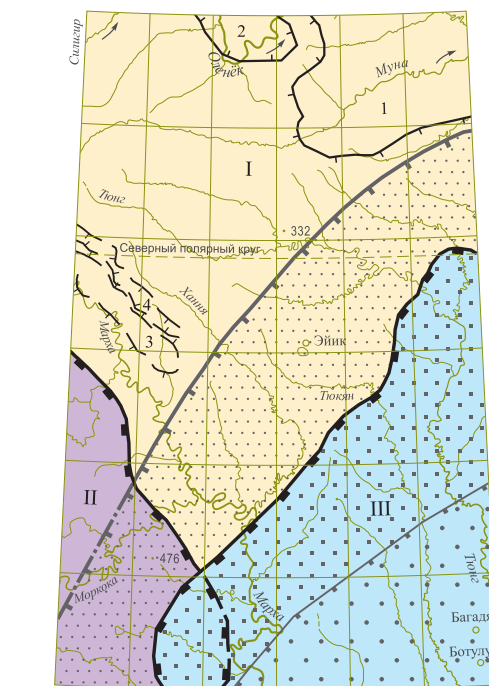


СХЕМА ТЕКТОНИЧЕСКОГО РАЙОНИРОВАНИЯ
Масштаб 1 : 5 000 000



УСЛОВНЫЕ ОБОЗНАЧЕНИЯ

СТРУКТУРЫ ОСАДОЧНОГО ЧЕХЛА СИБИРСКОЙ ПЛАТОРЫ
Структуры первого порядка

I	Анабаро-Оленевская антиклиналь	III	Вилейская синеклиза
II	Тунгусская синеклиза		

Структуры второго порядка положительные

1 - Мунский свод

Структуры второго порядка отрицательные

2 - Суханская впадина

Структуры третьего порядка положительные

3 - Мархинский вал

Структуры третьего порядка отрицательные

4 - Ханнинская впадина

Границы структур первого порядка

Границы структур первого порядка погорбенные

ПЛАТОМСКО-ВИЛЕЙСКИЙ ПАЛЕОРИФТ (ВИЛЕЙСКО-ПЛАТОМСКИЙ АВЛАКОГЕН)

Центральная часть палеорифта погорбенная

Краевая часть палеорифта, выходящая на поверхность

Краевая часть палеорифта погорбенная

Границы Платомско-Вилейского палеорифта: а - выходящие на поверхность, б - скрытые под вышележащими отложениями

Границы частей Платомско-Вилейского палеорифта, скрытые под вышележащими отложениями

СХЕМА СТРАТОНИЗИПС
ПОДШЫВЫ ТРИАСОВЫХ ОТЛОЖЕНИЙ
Масштаб 1 : 5 000 000

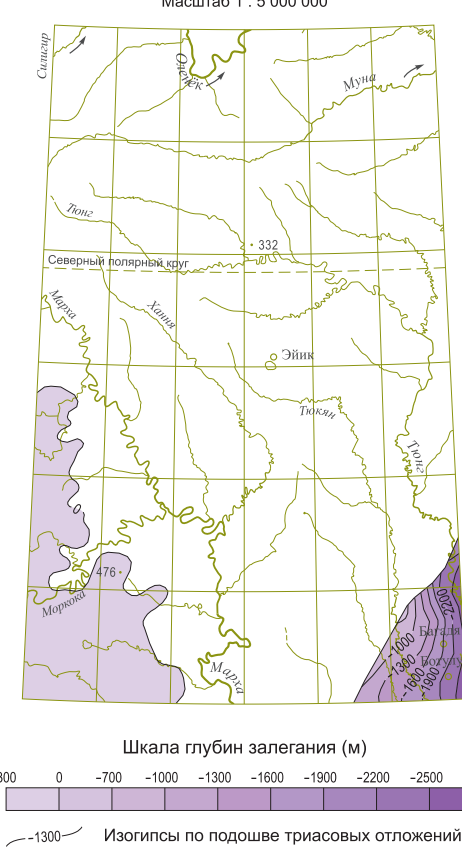


СХЕМА СТРАТОНИЗИПС
ПОДШЫВЫ ПЕРМСКИХ ОТЛОЖЕНИЙ
Масштаб 1 : 5 000 000

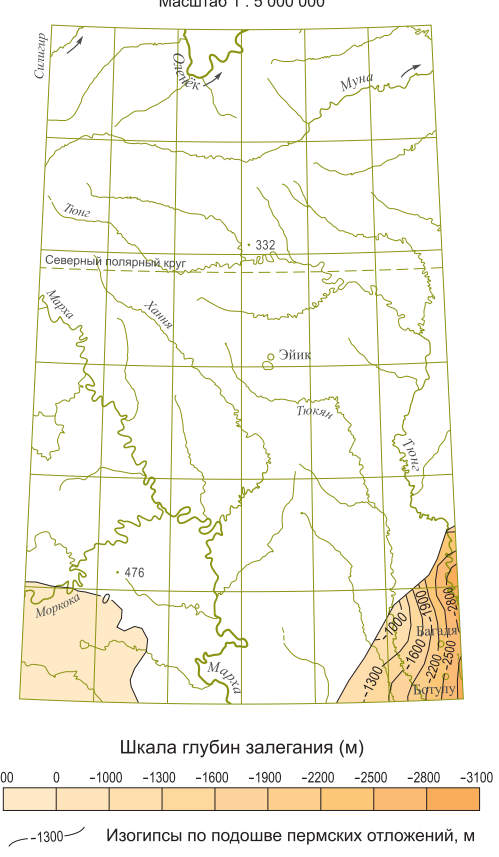


СХЕМА СТРАТОНИЗИПС
ПОДШЫВЫ КЕМБРИЙСКИХ ОТЛОЖЕНИЙ
Масштаб 1 : 5 000 000

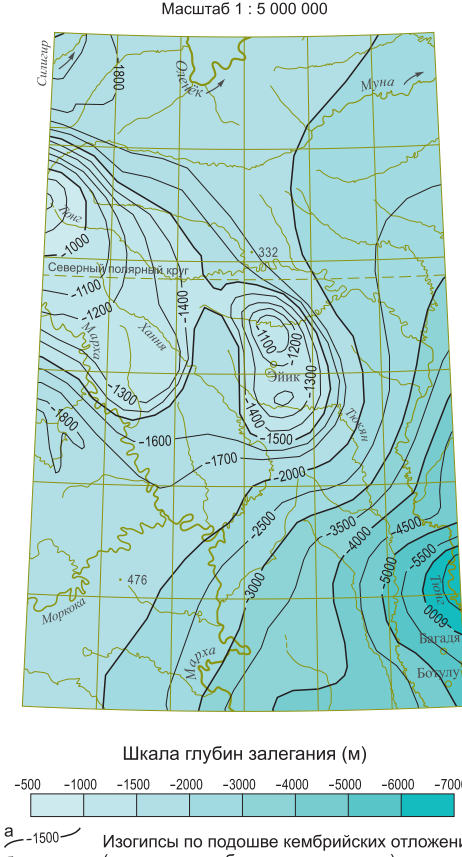


СХЕМА СТРАТОНИЗИПС
ФУНДАМЕНТА
Масштаб 1 : 5 000 000

